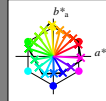


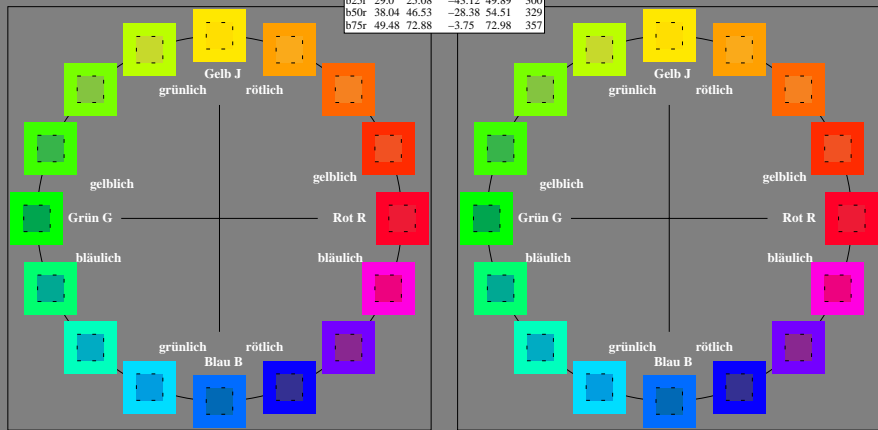
Ein und Ausgabe:
Farbmetrisches Drucker-Reflektiv-System ORS19_96a
Daten für jede Farbe:
 $lab^{*}ch^{*}$ und $lab^{*}icu^{*}$
Elementar-Bunttonext:
 $u^{*} = 16$ Bunttöne $r00j$, $r25j$, ..., $b75r$
Kontrastreduzierungsfaktor:
 $c_R = 1.0$

ORS19_96a; adaptierte CIELAB-Daten					
	$L^{*}-L^{*}_a$	a^{*}_a	b^{*}_a	$C^{*}_{ab,a}$	$h^{*}_{ab,a}$
r00j	48.88	66.47	31.67	73.63	25
r25j	55.85	52.39	47.48	70.7	42
r50j	65.45	35.22	58.37	68.17	59
r75j	75.19	17.82	69.41	71.66	76
j00g	87.03	-3.34	82.83	82.9	92
j25g	80.72	-25.0	69.5	73.86	110
j50g	70.64	-39.53	51.97	65.3	127
j75g	61.93	-52.09	36.83	63.8	145
g00b	52.8	-65.27	20.93	68.56	162
g25b	55.7	-49.57	-8.38	50.28	190
g50b	57.82	-38.39	-28.91	48.07	217
g75b	55.5	-22.04	-45.94	50.97	244
b00r	41.6	1.37	-45.0	45.03	272
b25r	29.0	25.08	-43.12	49.89	300
b50r	38.04	46.53	-28.38	54.51	329
b75r	49.48	72.88	-3.75	72.98	357

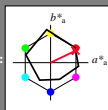


%Umfang
 $u^{*}_{rel} = 89$
%Regularität
 $g^{*}_{H,rel} = 72$
 $g^{*}_{C,rel} = 57$

ORS19_96a; adaptierte CIELAB-Daten					
	$L^{*}-L^{*}_a$	a^{*}_a	b^{*}_a	$C^{*}_{ab,a}$	$h^{*}_{ab,a}$
O _{Ma}	48.75	65.07	39.43	76.08	31
Y _{Ma}	90.92	-10.28	87.24	87.85	97
L _{Ma}	52.69	-65.43	20.75	68.65	162
C _{Ma}	59.61	-28.97	-46.21	54.56	238
V _{Ma}	28.39	23.63	-44.12	50.06	298
M _{Ma}	49.58	73.93	-9.55	74.55	353
N _{Ma}	18.89	0.0	0.0	0.0	0
W _{Ma}	96.9	0.0	0.0	0.0	0
R _{CIE}	39.92	58.74	27.99	65.07	25
J _{CIE}	81.26	-2.88	71.56	71.62	92
G _{CIE}	52.23	-42.41	13.6	44.55	162
B _{CIE}	30.57	1.41	-46.46	46.49	272



Ein und Ausgabe: Farbmetrisches Drucker-Reflektiv-System ORS19_96a für relativen CIELAB-Buntton $h^* = lab^*h^* = h_{ab}/360 = 25/360 = 0.071$ $u^* = r00j$
Daten für jede Farbe:
 lab^*ich^* und lab^*icu^*
Elementar-Bunttonkontext:
 $u^* = r00j$
Kontrastreduzierungsfaktor:
 $c_R = 1.0$
Dreiecks-Helligkeit t^*



ORS19_96a; adaptierte CIELAB-Daten					
$L^* = L^*_a$	a^*_a	b^*_a	C^*_{aba}	h^*_{aba}	
O _{Ma}	48.75	65.07	39.43	76.08	31
Y _{Ma}	90.92	-10.28	87.24	87.85	97
L _{Ma}	52.69	-65.43	20.75	68.65	162
C _{Ma}	59.61	-28.97	-46.21	54.56	238
V _{Ma}	28.39	23.63	-44.12	50.06	298
M _{Ma}	49.58	73.93	-9.55	74.55	353
W _{Ma}	18.89	0.0	0.0	0.0	0
N _{Ma}	96.9	0.0	0.0	0.0	0
R _{CIE}	39.92	58.74	27.99	65.07	25
J _{CIE}	81.26	-2.88	71.56	71.62	92
G _{CIE}	52.23	-42.41	13.6	44.55	162
B _{CIE}	30.57	1.41	-46.46	46.49	272

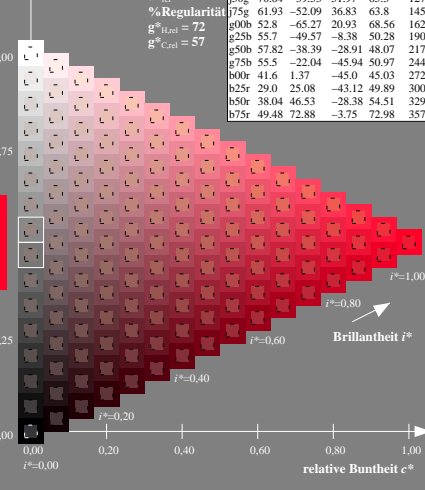
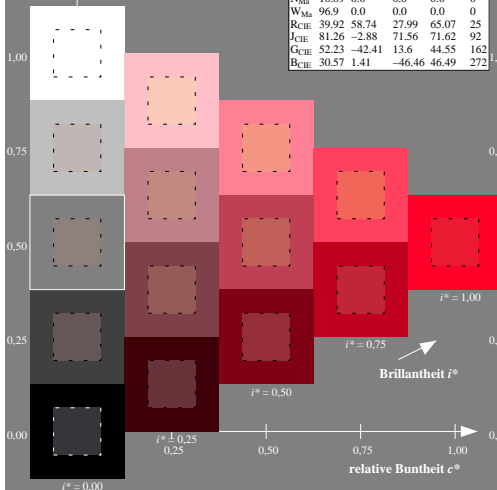
Daten für Maximalfarbe (Ma):

LAB^*LAB^*Ma : 49 66 32
 LAB^*LCH^*Ma : 49 74 25
 lab^*rgb^*Ma : 1.0 0.0 0.0
 lab^*olv^*Ma : 1.0 0.0 0.16

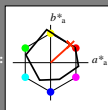
ORS19_96a; adaptierte CIELAB-Daten					
$L^* = L^*_a$	a^*_a	b^*_a	C^*_{aba}	h^*_{aba}	
r00j	48.88	66.47	31.67	73.63	25
r25j	55.85	52.39	47.48	70.7	42
r50j	65.45	35.22	58.37	68.17	59
r75j	75.19	17.82	69.41	71.66	76
j00g	87.03	-3.34	82.83	82.9	92
j25g	80.72	-25.0	69.5	73.86	110
j50g	70.64	-39.53	51.97	65.3	127
j75g	61.93	-52.09	36.83	63.8	145
g00b	52.8	-65.27	20.93	68.56	162
g25b	55.7	-49.57	-8.38	50.28	190
g50b	57.82	-38.39	-28.91	48.07	217
g75b	55.5	-22.04	-45.94	50.97	244
b00r	41.6	1.37	-45.0	45.03	272
b25r	29.0	25.08	-43.12	49.89	300
b50r	38.04	46.53	-28.38	54.51	329
b75r	49.48	72.88	-3.75	72.98	357

Dreiecks-Helligkeit t^*

%Umfang
 $u^*_{rel} = 89$
%Regularität
 $g^*_{H,rel} = 72$
 $g^*_{C,rel} = 57$



Ein und Ausgabe: Farbmetrisches Drucker-Reflektiv-System ORS19_96a für relativen CIELAB-Buntton $h^* = lab^*h^* = h_{ab}/360 = 42/360 = 0.117$ $u^* = r25j$
Daten für jede Farbe:
 lab^*ich^* und lab^*icu^*
Elementar-Bunttontext:
 $u^* = r25j$
Kontrastreduzierungsfaktor:
 $c_R = 1.0$
Dreiecks-Helligkeit t^*



ORS19_96a; adaptierte CIELAB-Daten					
$L^* = L^*_a$	a^*_a	b^*_a	C^*_{aba}	h^*_{aba}	
O _{Ma}	48.75	65.07	39.43	76.08	31
Y _{Ma}	90.92	-10.28	87.24	87.85	97
L _{Ma}	52.69	-65.43	20.75	68.65	162
C _{Ma}	59.61	-28.97	-46.21	54.56	238
V _{Ma}	28.39	23.63	-44.12	50.06	298
M _{Ma}	49.58	73.93	-9.55	74.55	353
W _{Ma}	18.89	0.0	0.0	0.0	0
N _{Ma}	96.9	0.0	0.0	0.0	0
R _{CIE}	39.92	58.74	27.99	65.07	25
J _{CIE}	81.26	-2.88	71.56	71.62	92
G _{CIE}	52.23	-42.41	13.6	44.55	162
B _{CIE}	30.57	1.41	-46.46	46.49	272

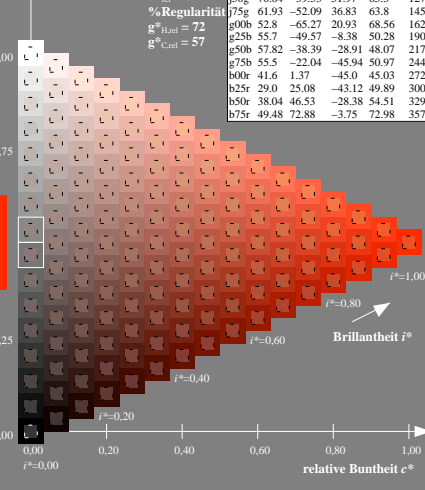
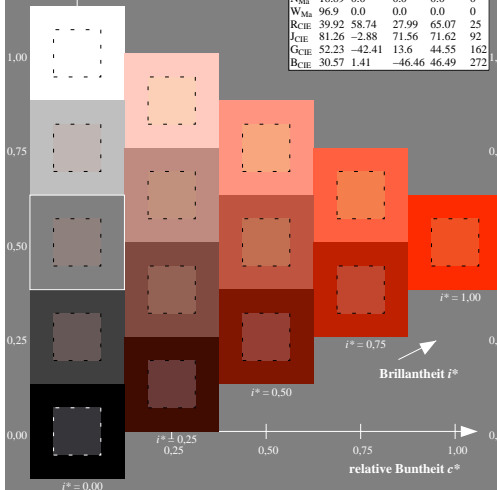
Daten für Maximalfarbe (Ma):

LAB^*LAB^*Ma : 56 52 47
 LAB^*LCH^*Ma : 56 71 42
 lab^*rgb^*Ma : 1.0 0.25 0.0
 lab^*olv^*Ma : 1.0 0.17 0.0

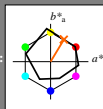
ORS19_96a; adaptierte CIELAB-Daten					
$L^* = L^*_a$	a^*_a	b^*_a	C^*_{aba}	h^*_{aba}	
r00j	48.88	66.47	31.67	73.63	25
r25j	55.85	52.39	47.48	70.7	42
r50j	65.45	35.22	58.37	68.17	59
r75j	75.19	17.82	69.41	71.66	76
j00g	87.03	-3.34	82.83	82.9	92
j25g	80.72	-25.0	69.5	73.86	110
j50g	70.64	-39.53	51.97	65.3	127
j75g	61.93	-52.09	36.83	63.8	145
g00b	52.8	-65.27	20.93	68.56	162
g25b	55.7	-49.57	-8.38	50.28	190
g50b	57.82	-38.39	-28.91	48.07	217
g75b	55.5	-22.04	-45.94	50.97	244
b00r	41.6	1.37	-45.0	45.03	272
b25r	29.0	25.08	-43.12	49.89	300
b50r	38.04	46.53	-28.38	54.51	329
b75r	49.48	72.88	-3.75	72.98	357

Dreiecks-Helligkeit t^*

%Umfang
 $u^*_{rel} = 89$
%Regularität
 $g^*_{H,rel} = 72$
 $g^*_{C,rel} = 57$



Ein und Ausgabe: Farbmetrisches Drucker-Reflektiv-System ORS19_96a für relativen CIELAB-Buntton $h^* = lab^*h^* = h_{ab}/360 = 59/360 = 0.164$ $u^* = r50j$
Daten für jede Farbe:
 lab^*ich^* und lab^*icu^*
Elementar-Bunttonkontext:
 $u^* = r50j$
Kontrastreduzierungsfaktor:
 $c_R = 1.0$
Dreiecks-Helligkeit t^*



ORS19_96a; adaptierte CIELAB-Daten					
$L^* = L^*_a$	a^*_a	b^*_a	C^*_{aba}	h^*_{aba}	
O _{Ma}	48.75	65.07	39.43	76.08	31
Y _{Ma}	90.92	-10.28	87.24	87.85	97
L _{Ma}	52.69	-65.43	20.75	68.65	162
C _{Ma}	59.61	-28.97	-46.21	54.56	238
V _{Ma}	28.39	23.63	-44.12	50.06	298
M _{Ma}	49.58	73.93	-9.55	74.55	353
W _{Ma}	18.89	0.0	0.0	0.0	0
N _{Ma}	96.9	0.0	0.0	0.0	0
R _{CIE}	39.92	58.74	27.99	65.07	25
J _{CIE}	81.26	-2.88	71.56	71.62	92
G _{CIE}	52.23	-42.41	13.6	44.55	162
B _{CIE}	30.57	1.41	-46.46	46.49	272

Daten für Maximalfarbe (Ma):

LAB^*LAB^*Ma : 65 35 58
 LAB^*LCH^*Ma : 65 68 59
 lab^*rgb^*Ma : 1.0 0.5 0.0
 lab^*olv^*Ma : 1.0 0.4 0.0

ORS19_96a; adaptierte CIELAB-Daten					
$L^* = L^*_a$	a^*_a	b^*_a	C^*_{aba}	h^*_{aba}	
r00j	48.88	66.47	31.67	73.63	25
r25j	55.85	52.39	47.48	70.7	42
r50j	65.45	35.22	58.37	68.17	59
r75j	75.19	17.82	69.41	71.66	76
j00g	87.03	-3.34	82.83	82.9	92
j25g	80.72	-25.0	69.5	73.86	110
j50g	70.64	-39.53	51.97	65.3	127
j75g	61.93	-52.09	36.83	63.8	145
g00b	52.8	-65.27	20.93	68.56	162
g25b	55.7	-49.57	-8.38	50.28	190
g50b	57.82	-38.39	-28.91	48.07	217
g75b	55.5	-22.04	-45.94	50.97	244
b00r	41.6	1.37	-45.0	45.03	272
b25r	29.0	25.08	-43.12	49.89	300
b50r	38.04	46.53	-28.38	54.51	329
b75r	49.48	72.88	-3.75	72.98	357

Dreiecks-Helligkeit t^*

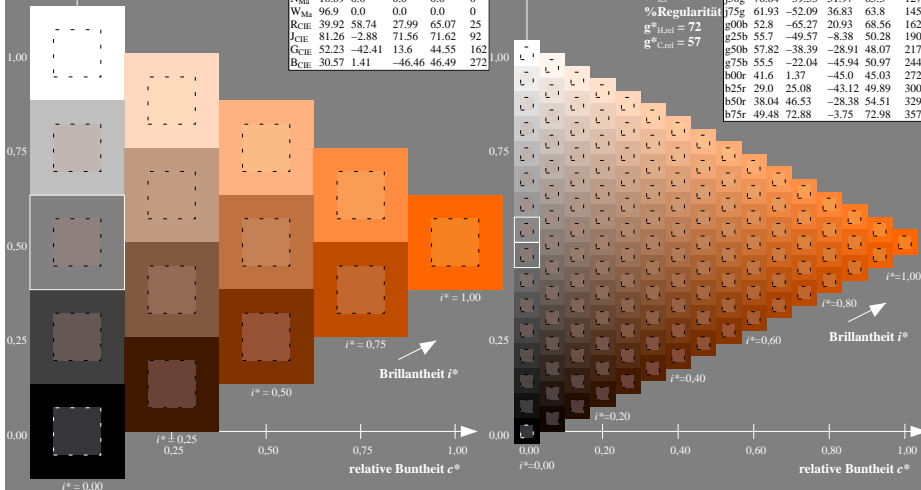
%Umfang

$u^*_{rel} = 89$

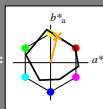
%Regularität

$g^*_{H,rel} = 72$

$g^*_{C,rel} = 57$



Ein und Ausgabe: Farbmetrisches Drucker-Reflexiv-System ORS19_96a für relativen CIELAB-Buntton $h^* = lab^*h^* = h_{ab}/360 = 76/360 = 0.21$ $u^* = r75j$
Daten für jede Farbe:
 lab^*ich^* und lab^*icu^*
Elementar-Bunttontext:
 $u^* = r75j$
Kontrastreduzierungsfaktor:
 $c_R = 1.0$
Dreiecks-Helligkeit t^*



ORS19_96a; adaptierte CIELAB-Daten					
$L^* = L^*_a$	a^*_a	b^*_a	C^*_{aba}	h^*_{aba}	
O _{Ma}	48.75	65.07	39.43	76.08	31
Y _{Ma}	90.92	-10.28	87.24	87.85	97
L _{Ma}	52.69	-65.43	20.75	68.65	162
C _{Ma}	59.61	-28.97	-46.21	54.56	238
V _{Ma}	28.39	23.63	-44.12	50.06	298
M _{Ma}	49.58	73.93	-9.55	74.55	353
W _{Ma}	18.89	0.0	0.0	0.0	0
N _{Ma}	96.9	0.0	0.0	0.0	0
R _{CIE}	39.92	58.74	27.99	65.07	25
J _{CIE}	81.26	-2.88	71.56	71.62	92
G _{CIE}	52.23	-42.41	13.6	44.55	162
B _{CIE}	30.57	1.41	-46.46	46.49	272

Daten für Maximalfarbe (Ma):

LAB^*LAB^*Ma : 75 18 69
 LAB^*LCH^*Ma : 75 72 76
 lab^*rgb^*Ma : 1.0 0.75 0.0
 lab^*olv^*Ma : 1.0 0.63 0.0

ORS19_96a; adaptierte CIELAB-Daten					
$L^* = L^*_a$	a^*_a	b^*_a	C^*_{aba}	h^*_{aba}	
r00j	48.88	66.47	31.67	73.63	25
r25j	55.85	52.39	47.48	70.7	42
r50j	65.45	35.22	58.37	68.17	59
r75j	75.19	17.82	69.41	71.66	76
j00g	87.03	-3.34	82.83	82.9	92
j25g	80.72	-25.0	69.5	73.86	110
j50g	70.64	-39.53	51.97	65.3	127
j75g	61.93	-52.09	36.83	63.8	145
g00b	52.8	-65.27	20.93	68.56	162
g25b	55.7	-49.57	-8.38	50.28	190
g50b	57.82	-38.39	-28.91	48.07	217
g75b	55.5	-22.04	-45.94	50.97	244
b00r	41.6	1.37	-45.0	45.03	272
b25r	29.0	25.08	-43.12	49.89	300
b50r	38.04	46.53	-28.38	54.51	329
b75r	49.48	72.88	-3.75	72.98	357

Dreiecks-Helligkeit t^*

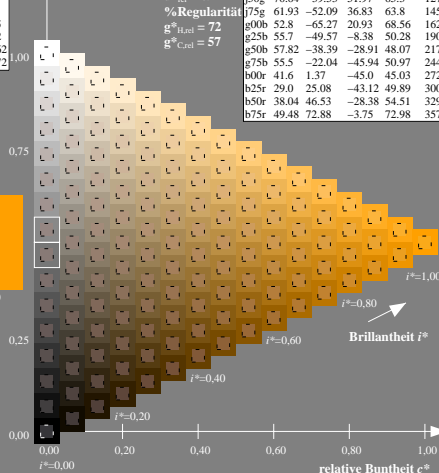
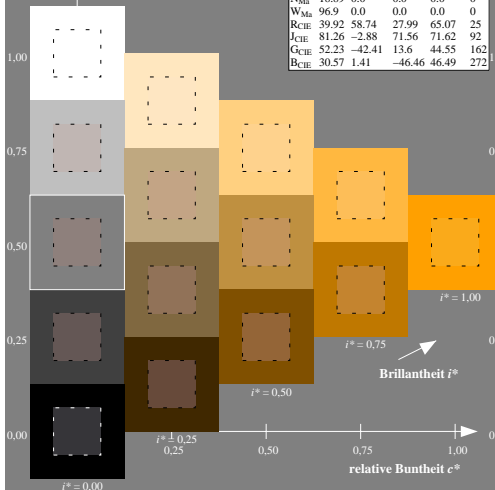
%Umfang

$u^*_{rel} = 89$

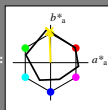
%Regularität

$g^*_{H,rel} = 72$

$g^*_{C,rel} = 57$



Ein und Ausgabe: Farbmetrisches Drucker-Reflektiv-System ORS19_96a für relativen CIELAB-Buntton $h^* = lab^*h^* = h_{ab}/360 = 92/360 = 0.256$ $u^* = j00g$
Daten für jede Farbe:
 lab^*ich^* und lab^*icu^*
Elementar-Bunttontext:
 $u^* = j00g$
Kontrastreduzierungsfaktor:
 $c_R = 1.0$
Dreiecks-Helligkeit t^*



ORS19_96a; adaptierte CIELAB-Daten					
$L^* = L^*_a$	a^*_a	b^*_a	C^*_{aba}	h^*_{aba}	
O _{Ma}	48.75	65.07	39.43	76.08	31
Y _{Ma}	90.92	-10.28	87.24	87.85	97
L _{Ma}	52.69	-65.43	20.75	68.65	162
C _{Ma}	59.61	-28.97	-46.21	54.56	238
V _{Ma}	28.39	23.63	-44.12	50.06	298
M _{Ma}	49.58	73.93	-9.55	74.55	353
W _{Ma}	18.89	0.0	0.0	0.0	0
N _{Ma}	96.9	0.0	0.0	0.0	0
R _{CIE}	39.92	58.74	27.99	65.07	25
J _{CIE}	81.26	-2.88	71.56	71.62	92
G _{CIE}	52.23	-42.41	13.6	44.55	162
B _{CIE}	30.57	1.41	-46.46	46.49	272

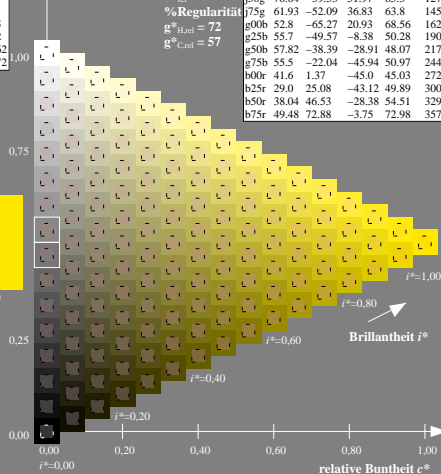
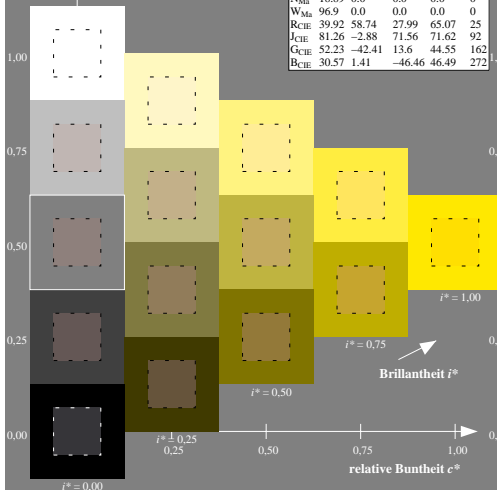
Daten für Maximalfarbe (Ma):

LAB^*LAB^*Ma : 87 -2 83
 LAB^*LCH^*Ma : 87 83 92
 lab^*rgb^*Ma : 1.0 1.0 0.0
 lab^*olv^*Ma : 1.0 0.91 0.0

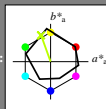
ORS19_96a; adaptierte CIELAB-Daten					
$L^* = L^*_a$	a^*_a	b^*_a	C^*_{aba}	h^*_{aba}	
r00j	48.88	66.47	31.67	73.63	25
r25j	55.85	52.39	47.48	70.7	42
r50j	65.45	35.22	58.37	68.17	59
r75j	75.19	17.82	69.41	71.66	76
j00g	87.03	-3.34	82.83	82.9	92
j25g	80.72	-25.0	69.5	73.86	110
j50g	70.64	-39.53	51.97	65.3	127
j75g	61.93	-52.09	36.83	63.8	145
g00b	52.8	-65.27	20.93	68.56	162
g25b	55.7	-49.57	-8.38	50.28	190
g50b	57.82	-38.39	-28.91	48.07	217
g75b	55.5	-22.04	-45.94	50.97	244
b00r	41.6	1.37	-45.0	45.03	272
b25r	29.0	25.08	-43.12	49.89	300
b50r	38.04	46.53	-28.38	54.51	329
b75r	49.48	72.88	-3.75	72.98	357

Dreiecks-Helligkeit t^*

%Umfang
 $u^*_{rel} = 89$
%Regularität
 $g^*_{H,rel} = 72$
 $g^*_{C,rel} = 57$



Ein und Ausgabe: Farbmetrisches Drucker-Reflexiv-System ORS19_96a für relativen CIELAB-Buntton $h^* = lab^*h^* = h_{ab}/360 = 110/360 = 0.305$ $u^* = j25g$
Daten für jede Farbe:
 lab^*ich^* und lab^*icu^*
Elementar-Bunttontext:



$u^* = j25g$
Kontrastreduzierungsfaktor:
 $c_R = 1.0$
Dreiecks-Helligkeit i^*

ORS19_96a; adaptierte CIELAB-Daten					
	$L^*=L^*_a$	a^*_a	b^*_a	C^*_{aba}	h^*_{aba}
O _{Ma}	48.75	65.07	39.43	76.08	31
Y _{Ma}	90.92	-10.28	87.24	87.85	97
L _{Ma}	52.69	-65.43	20.75	68.65	162
C _{Ma}	59.61	-28.97	-46.21	54.56	238
V _{Ma}	28.39	23.63	-44.12	50.06	298
M _{Ma}	49.58	73.93	-9.55	74.55	353
W _{Ma}	18.89	0.0	0.0	0.0	0
N _{Ma}	96.9	0.0	0.0	0.0	0
R _{CIE}	39.92	58.74	27.99	65.07	25
J _{CIE}	81.26	-2.88	71.56	71.62	92
G _{CIE}	52.23	-42.41	13.6	44.55	162
B _{CIE}	30.57	1.41	-46.46	46.49	272

Daten für Maximalfarbe (Ma):

LAB^*LAB^*Ma : 81 -24 69

LAB^*LCH^*Ma : 81 74 110

lab^*rgb^*Ma : 0.75 1.0 0.0

lab^*olv^*Ma : 0.73 1.0 0.0

ORS19_96a; adaptierte CIELAB-Daten					
	$L^*=L^*_a$	a^*_a	b^*_a	C^*_{aba}	h^*_{aba}
r00j	48.88	66.47	31.67	73.63	25
r25j	55.85	52.39	47.48	70.7	42
r50j	65.45	35.22	58.37	68.17	59
r75j	75.19	17.82	69.41	71.66	76
j00g	87.03	-3.34	82.83	82.9	92
j25g	80.72	-25.0	69.5	73.86	110
j50g	70.64	-39.53	51.97	65.3	127
j75g	61.93	-52.09	36.83	63.8	145
g00b	52.8	-65.27	20.93	68.56	162
g25b	55.7	-49.57	-8.38	50.28	190
g50b	57.82	-38.39	-28.91	48.07	217
g75b	55.5	-22.04	-45.94	50.97	244
b00r	41.6	1.37	-45.0	45.03	272
b25r	29.0	25.08	-43.12	49.89	300
b50r	38.04	46.53	-28.38	54.51	329
b75r	49.48	72.88	-3.75	72.98	357

Dreiecks-Helligkeit i^*

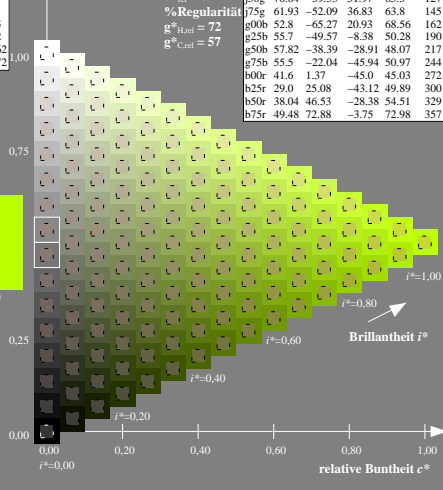
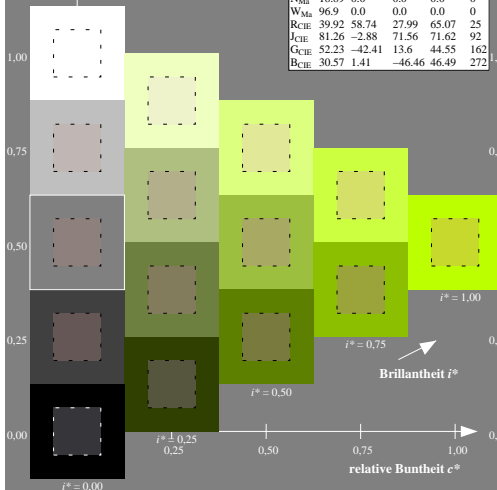
%Umfang

$u^*_{rel} = 89$

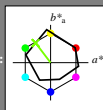
%Regularität

$g^*_{H,rel} = 72$

$g^*_{C,rel} = 57$



Ein und Ausgabe: Farbmetrisches Drucker-Reflexiv-System ORS19_96a für relativen CIELAB-Buntton $h^* = lab^*h^* = h_{ab}/360 = 127/360 = 0.354$ $u^* = j50g$
Daten für jede Farbe:
 lab^*ich^* und lab^*icu^*
Elementar-Bunttontext:
 $u^* = j50g$
Kontrastreduzierungsfaktor:
 $c_R = 1.0$
Dreiecks-Helligkeit t^*



ORS19_96a; adaptierte CIELAB-Daten					
$L^* = L^*_a$	a^*_a	b^*_a	C^*_{aba}	h^*_{aba}	
O _{Ma}	48.75	65.07	39.43	76.08	31
Y _{Ma}	90.92	-10.28	87.24	87.85	97
L _{Ma}	52.69	-65.43	20.75	68.65	162
C _{Ma}	59.61	-28.97	-46.21	54.56	238
V _{Ma}	28.39	23.63	-44.12	50.06	298
M _{Ma}	49.58	73.93	-9.55	74.55	353
W _{Ma}	18.89	0.0	0.0	0.0	0
R _{CIE}	39.92	58.74	27.99	65.07	25
J _{CIE}	81.26	-2.88	71.56	71.62	92
G _{CIE}	52.23	-42.41	13.6	44.55	162
B _{CIE}	30.57	1.41	-46.46	46.49	272

Daten für Maximalfarbe (Ma):

LAB^*LAB^*Ma : 71 -39 52
 LAB^*LCH^*Ma : 71 65 127
 lab^*rgb^*Ma : 0.5 1.0 0.0
 lab^*olv^*Ma : 0.47 1.0 0.0

ORS19_96a; adaptierte CIELAB-Daten					
$L^* = L^*_a$	a^*_a	b^*_a	C^*_{aba}	h^*_{aba}	
r00j	48.88	66.47	31.67	73.63	25
r25j	55.85	52.39	47.48	70.7	42
r50j	65.45	35.22	58.37	68.17	59
r75j	75.19	17.82	69.41	71.66	76
j00g	87.03	-3.34	82.83	82.9	92
j25g	80.72	-25.0	69.5	73.86	110
j50g	70.64	-39.53	51.97	65.3	127
j75g	61.93	-52.09	36.83	63.8	145
g00b	52.8	-65.27	20.93	68.56	162
g25b	55.7	-49.57	-8.38	50.28	190
g50b	57.82	-38.39	-28.91	48.07	217
g75b	55.5	-22.04	-45.94	50.97	244
b00r	41.6	1.37	-45.0	45.03	272
b25r	29.0	25.08	-43.12	49.89	300
b50r	38.04	46.53	-28.38	54.51	329
b75r	49.48	72.88	-3.75	72.98	357

Dreiecks-Helligkeit t^*

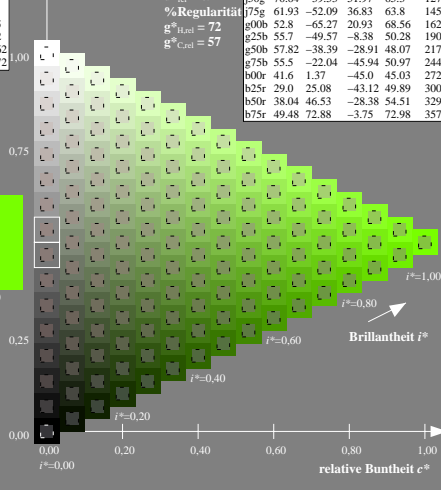
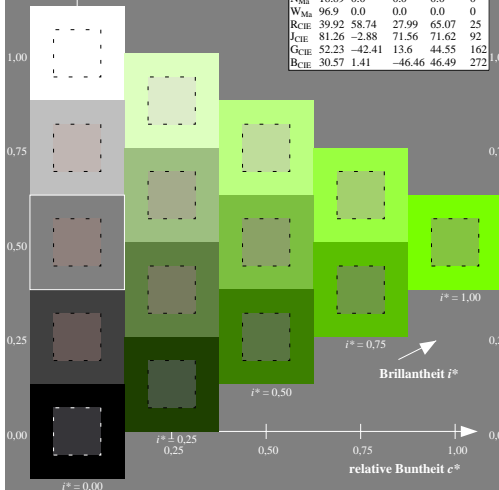
%Umfang

$u^*_{rel} = 89$

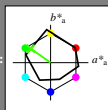
%Regularität

$g^*_{H,rel} = 72$

$g^*_{C,rel} = 57$



Ein und Ausgabe: Farbmetrisches Drucker-Reflexiv-System ORS19_96a für relativen CIELAB-Buntton $h^* = lab^*h^* = h_{ab}/360 = 145/360 = 0.402$ $u^* = j75g$
Daten für jede Farbe:
 lab^*ich^* und lab^*icu^*
Elementar-Bunttontext:
 $u^* = j75g$
Kontrastreduzierungsfaktor:
 $c_R = 1.0$
Dreiecks-Helligkeit t^*



ORS19_96a; adaptierte CIELAB-Daten					
$L^* = L^*_a$	a^*_a	b^*_a	C^*_{aba}	h^*_{aba}	
O _{Ma}	48.75	65.07	39.43	76.08	31
Y _{Ma}	90.92	-10.28	87.24	87.85	97
L _{Ma}	52.69	-65.43	20.75	68.65	162
C _{Ma}	59.61	-28.97	-46.21	54.56	238
V _{Ma}	28.39	23.63	-44.12	50.06	298
M _{Ma}	49.58	73.93	-9.55	74.55	353
W _{Ma}	18.89	0.0	0.0	0.0	0
N _{Ma}	96.9	0.0	0.0	0.0	0
R _{CIE}	39.92	58.74	27.99	65.07	25
J _{CIE}	81.26	-2.88	71.56	71.62	92
G _{CIE}	52.23	-42.41	13.6	44.55	162
B _{CIE}	30.57	1.41	-46.46	46.49	272

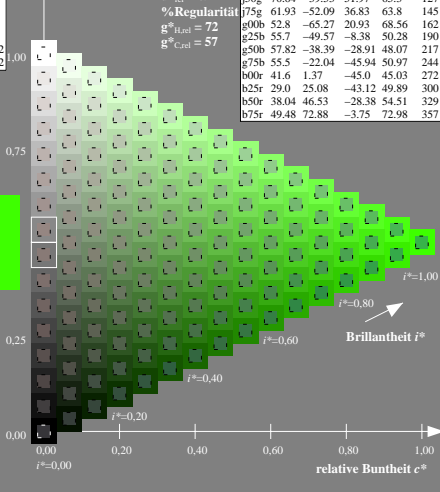
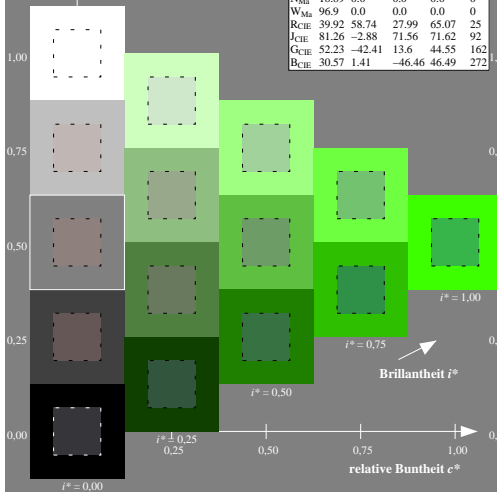
Daten für Maximalfarbe (Ma):

LAB^*LAB^*Ma : 62 -51 37
 LAB^*LCH^*Ma : 62 64 145
 lab^*rgb^*Ma : 0.25 1.0 0.0
 lab^*olv^*Ma : 0.24 1.0 0.0

ORS19_96a; adaptierte CIELAB-Daten					
$L^* = L^*_a$	a^*_a	b^*_a	C^*_{aba}	h^*_{aba}	
r00j	48.88	66.47	31.67	73.63	25
r25j	55.85	52.39	47.48	70.7	42
r50j	65.45	35.22	58.37	68.17	59
r75j	75.19	17.82	69.41	71.66	76
j00g	87.03	-3.34	82.83	82.9	92
j25g	80.72	-25.0	69.5	73.86	110
j50g	70.64	-39.53	51.97	65.3	127
j75g	61.93	-52.09	36.83	63.8	145
g00b	52.8	-65.27	20.93	68.56	162
g25b	55.7	-49.57	-8.38	50.28	190
g50b	57.82	-38.39	-28.91	48.07	217
g75b	55.5	-22.04	-45.94	50.97	244
b00r	41.6	1.37	-45.0	45.03	272
b25r	29.0	25.08	-43.12	49.89	300
b50r	38.04	46.53	-28.38	54.51	329
b75r	49.48	72.88	-3.75	72.98	357

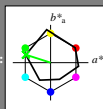
Dreiecks-Helligkeit t^*

%Umfang
 $u^*_{rel} = 89$
%Regularität
 $g^*_{H,rel} = 72$
 $g^*_{C,rel} = 57$



Ein und Ausgabe: Farbmetrisches Drucker-Reflexiv-System ORS19_96a für relativen CIELAB-Buntton $h^* = lab^*h^* = h_{ab}/360 = 162/360 = 0.451$ $u^* = g00b$
Daten für jede Farbe:
 lab^*ich^* und lab^*icu^*
Elementar-Bunttontext:

$u^* = g00b$
Kontrastreduzierungsfaktor:
 $c_R = 1.0$
Dreiecks-Helligkeit t^*



ORS19_96a; adaptierte CIELAB-Daten					
$L^* = L^*_a$	a^*_a	b^*_a	C^*_{aba}	h^*_{aba}	
O _{Ma}	48.75	65.07	39.43	76.08	31
Y _{Ma}	90.92	-10.28	87.24	87.85	97
L _{Ma}	52.69	-65.43	20.75	68.65	162
C _{Ma}	59.61	-28.97	-46.21	54.56	238
V _{Ma}	28.39	23.63	-44.12	50.06	298
M _{Ma}	49.58	73.93	-9.55	74.55	353
N _{Ma}	18.89	0.0	0.0	0.0	0
W _{Ma}	96.9	0.0	0.0	0.0	0
R _{CIE}	39.92	58.74	27.99	65.07	25
J _{CIE}	81.26	-2.88	71.56	71.62	92
G _{CIE}	52.23	-42.41	13.6	44.55	162
B _{CIE}	30.57	1.41	-46.46	46.49	272

Daten für Maximalfarbe (Ma):

LAB^*LAB^*Ma : 53 -64 21

LAB^*LCH^*Ma : 53 69 162

lab^*rgb^*Ma : 0.0 1.0 0.0

lab^*olv^*Ma : 0.0 1.0 0.0

Dreiecks-Helligkeit t^*

%Umfang

$u^*_{rel} = 89$

%Regularität

$g^*_{H,rel} = 72$

$g^*_{C,rel} = 57$

ORS19_96a; adaptierte CIELAB-Daten					
$L^* = L^*_a$	a^*_a	b^*_a	C^*_{aba}	h^*_{aba}	
r00j	48.88	66.47	31.67	73.63	25
r25j	55.85	52.39	47.48	70.7	42
r50j	65.45	35.22	58.37	68.17	59
r75j	75.19	17.82	69.41	71.66	76
j00g	87.03	-3.34	82.83	82.9	92
j25g	80.72	-25.0	69.5	73.86	110
j50g	70.64	-39.53	51.97	65.3	127
j75g	61.93	-52.09	36.83	63.8	145
g00b	52.8	-65.27	20.93	68.56	162
g25b	55.7	-49.57	-8.38	50.28	190
g50b	57.82	-38.39	-28.91	48.07	217
g75b	55.5	-22.04	-45.94	50.97	244
b00r	41.6	1.37	-45.0	45.03	272
b25r	29.0	25.08	-43.12	49.89	300
b50r	38.04	46.53	-28.38	54.51	329
b75r	49.48	72.88	-3.75	72.98	357

